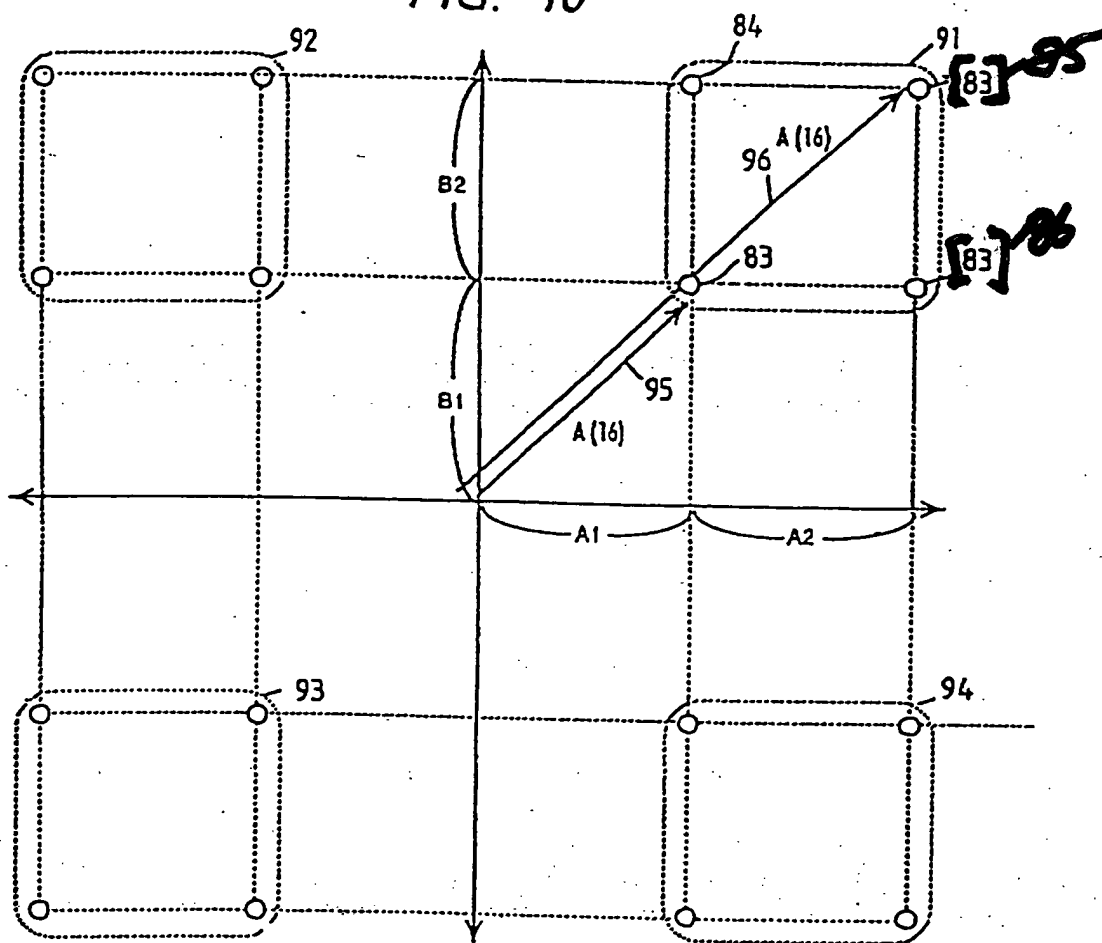


FIG. 10



51

FIG. 17

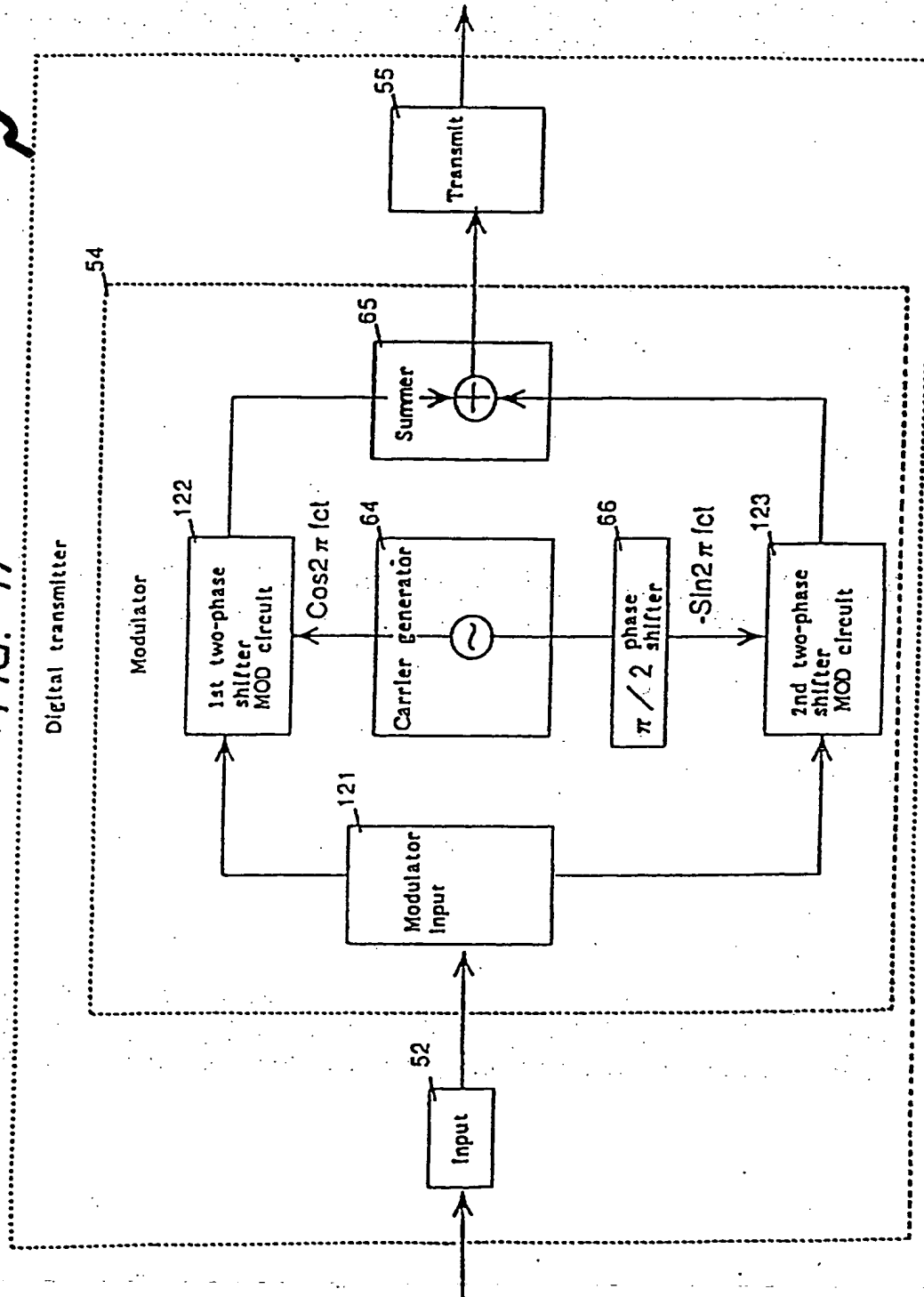


FIG. 24

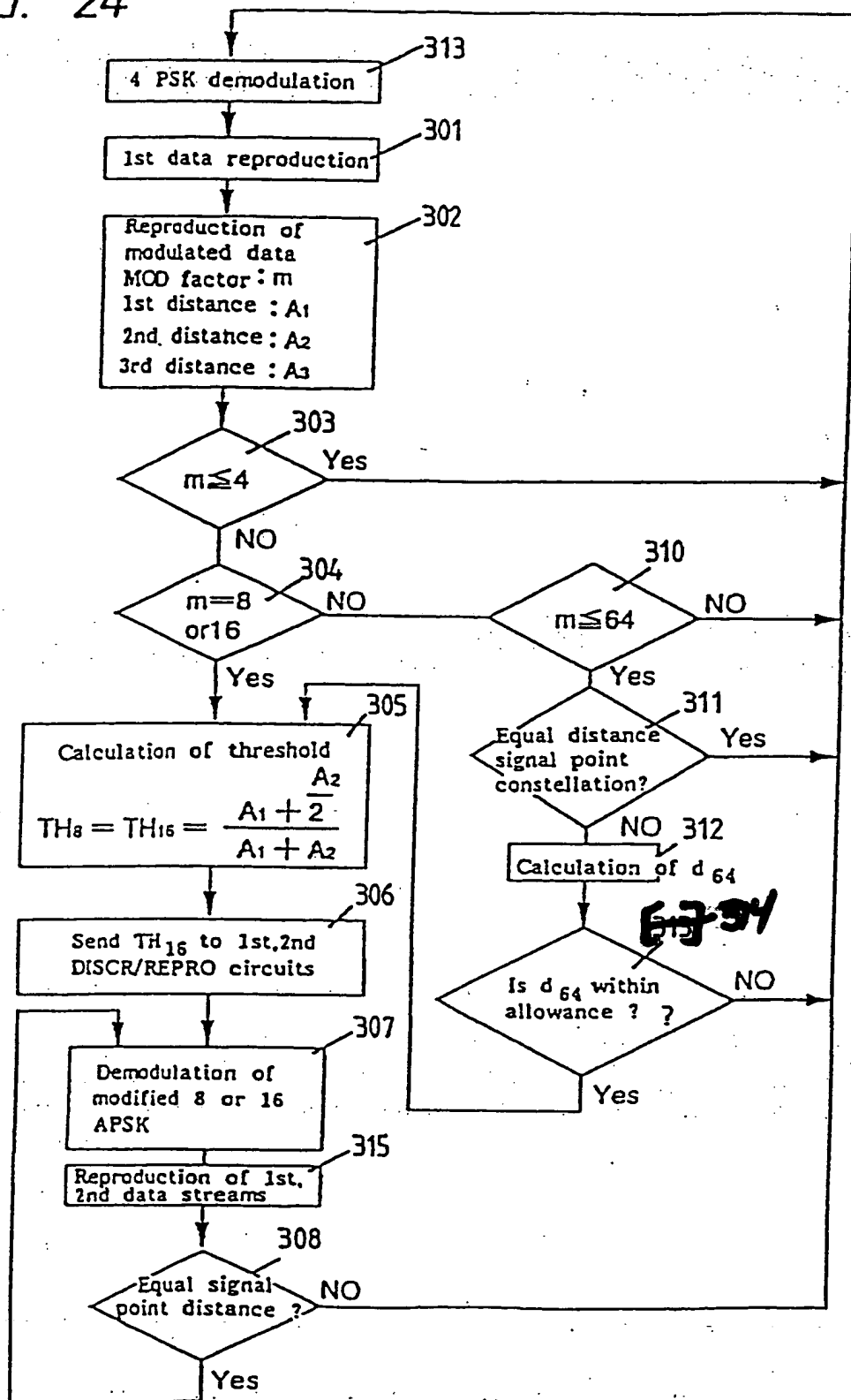


FIG. 28

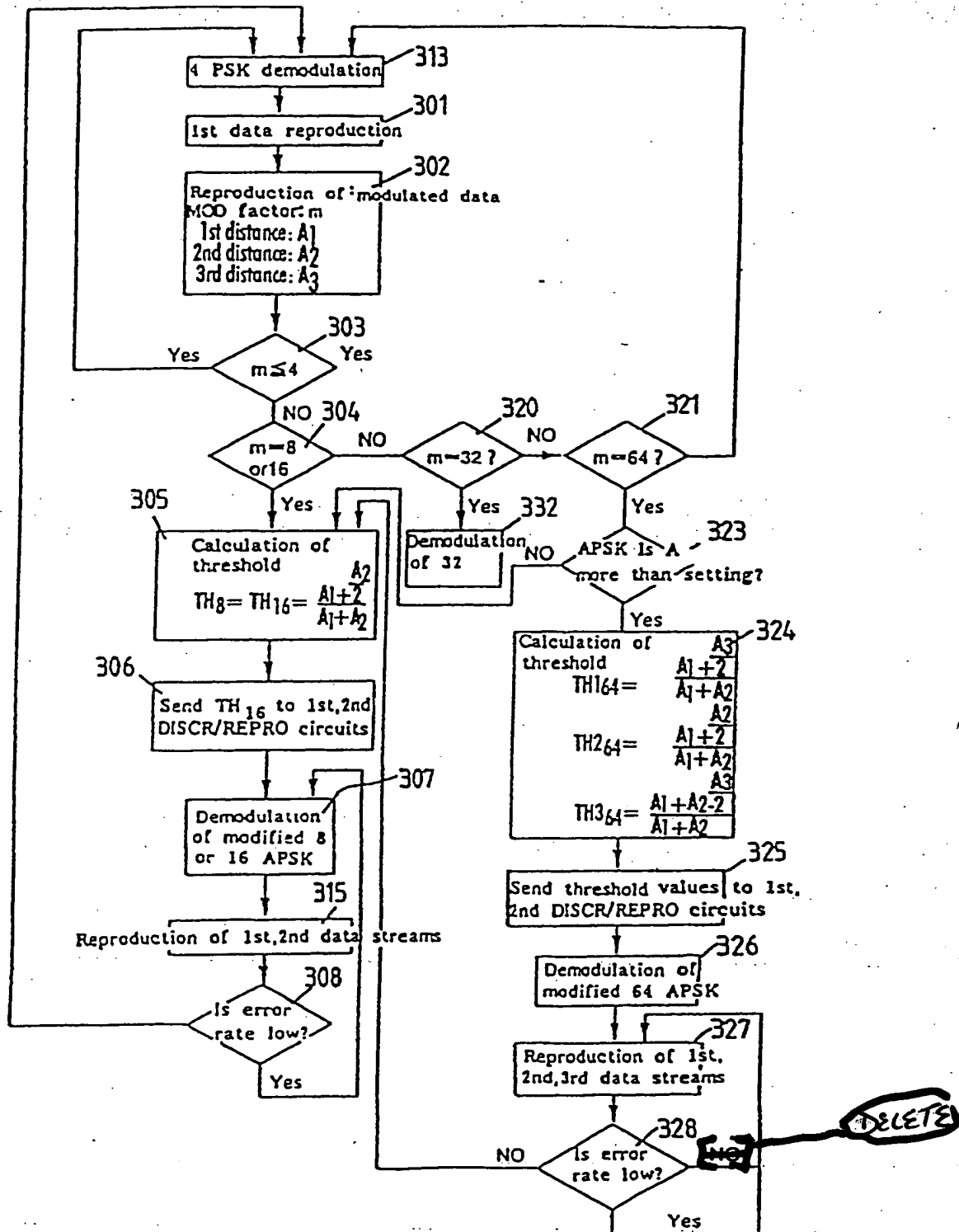


FIG. 29

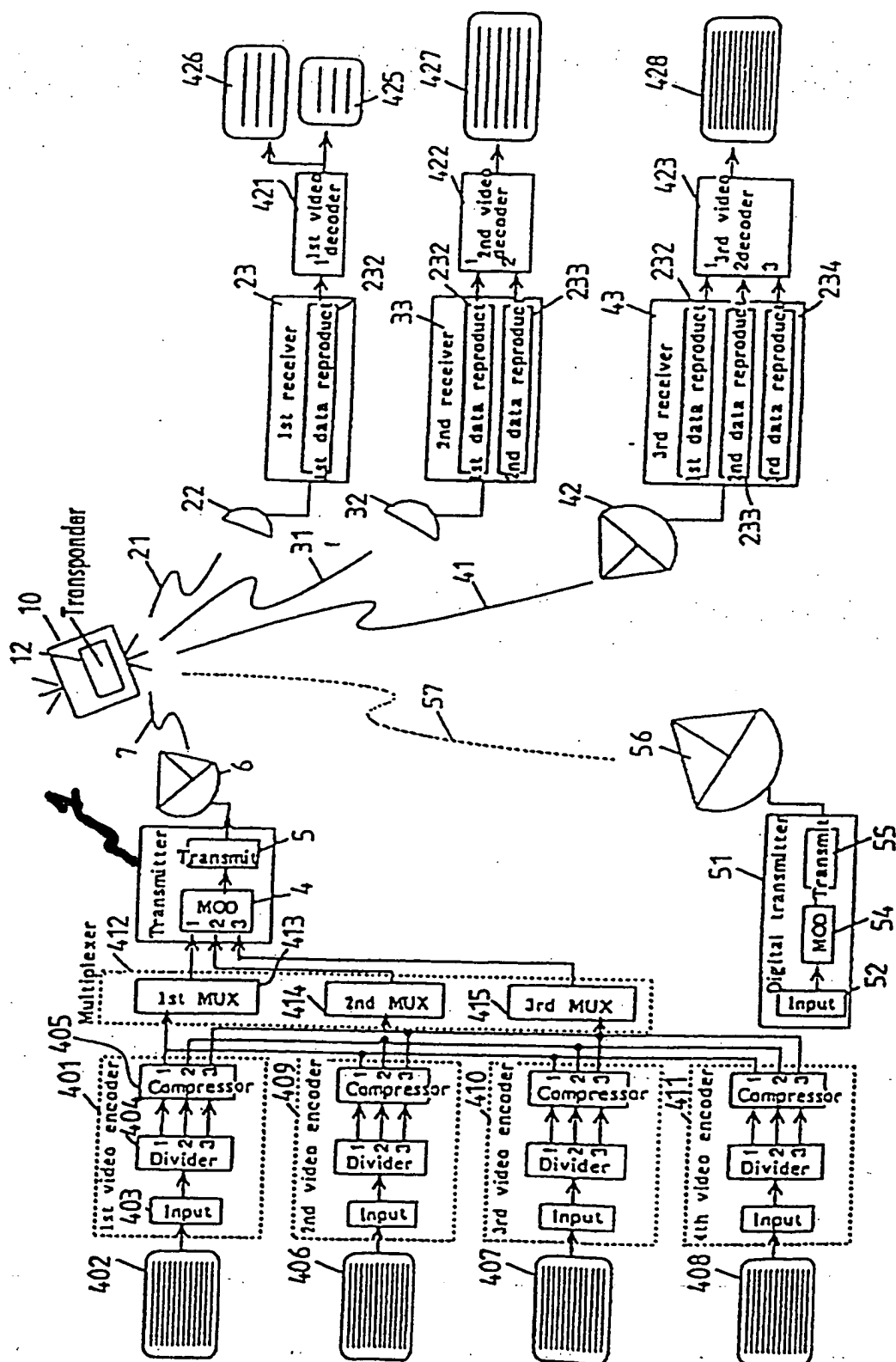


FIG. 30

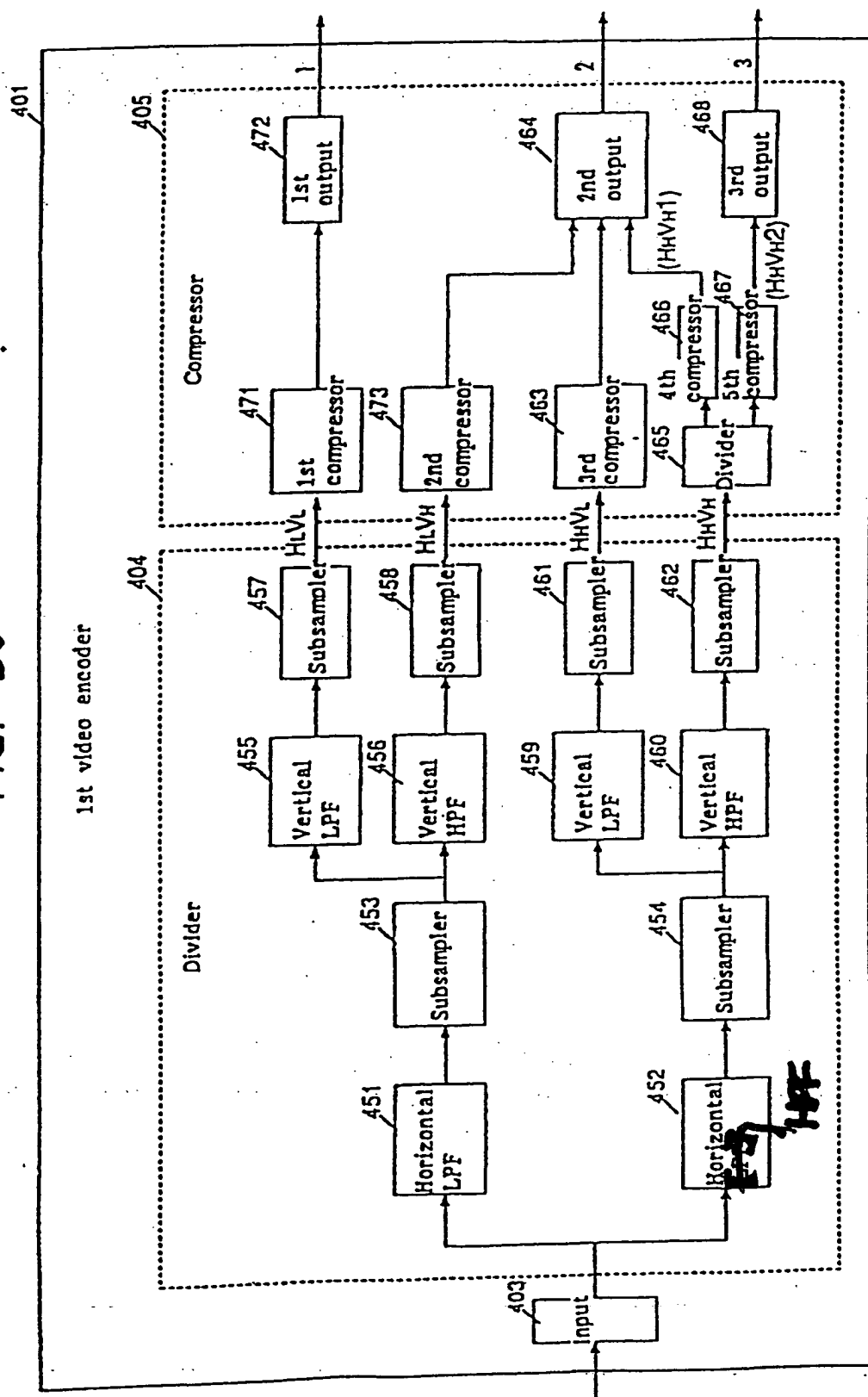


FIG. 32

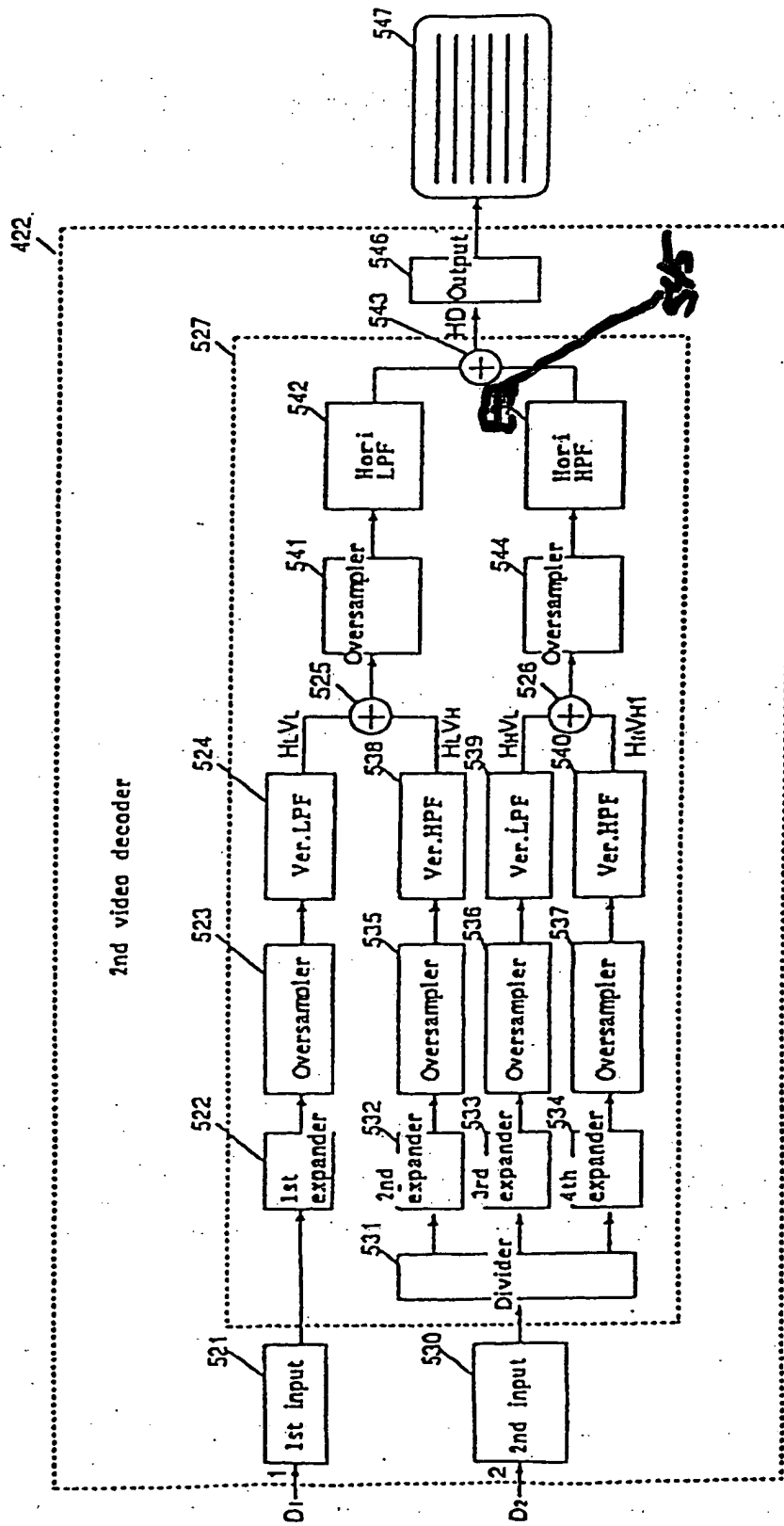


FIG. 41

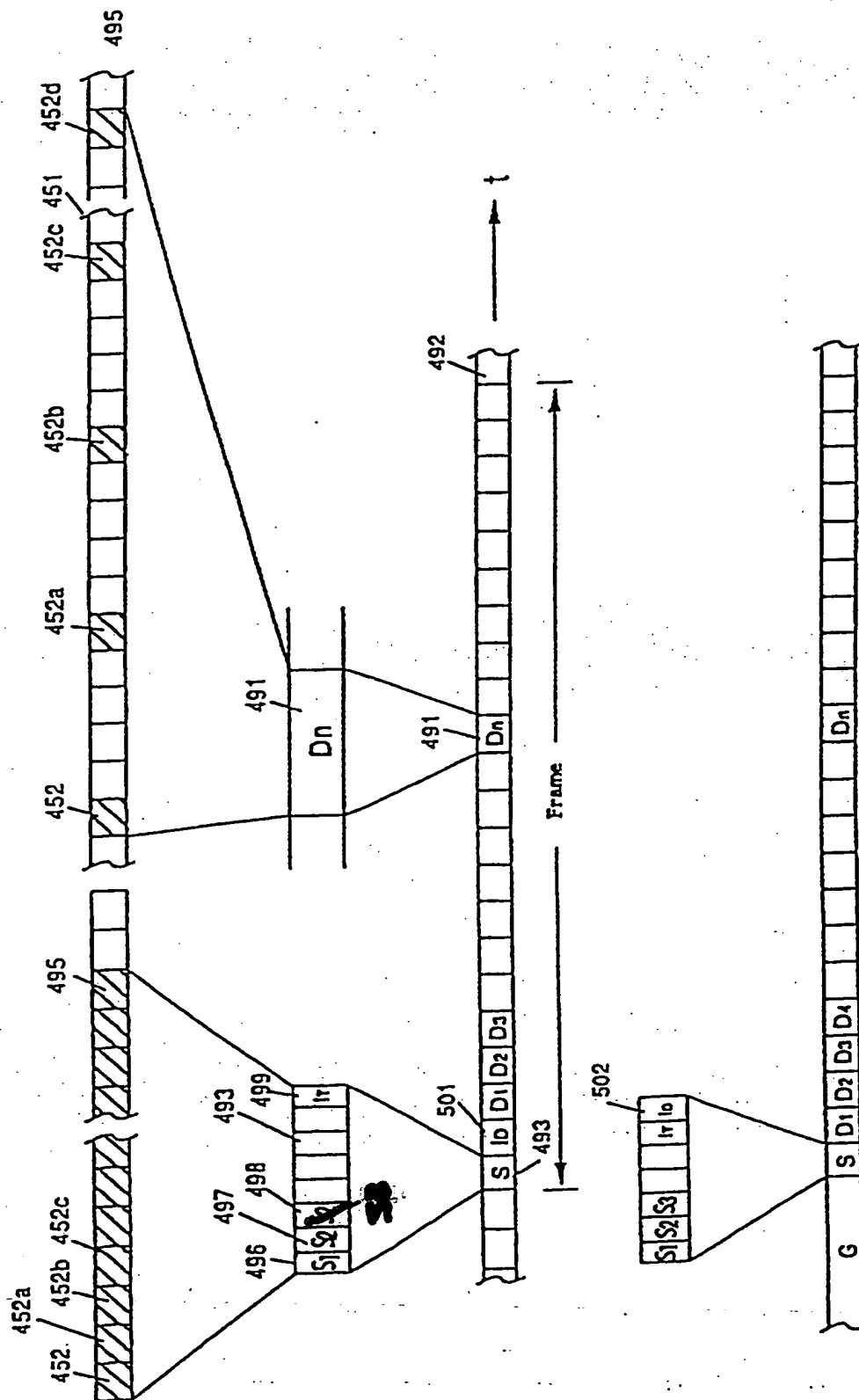


FIG. 42

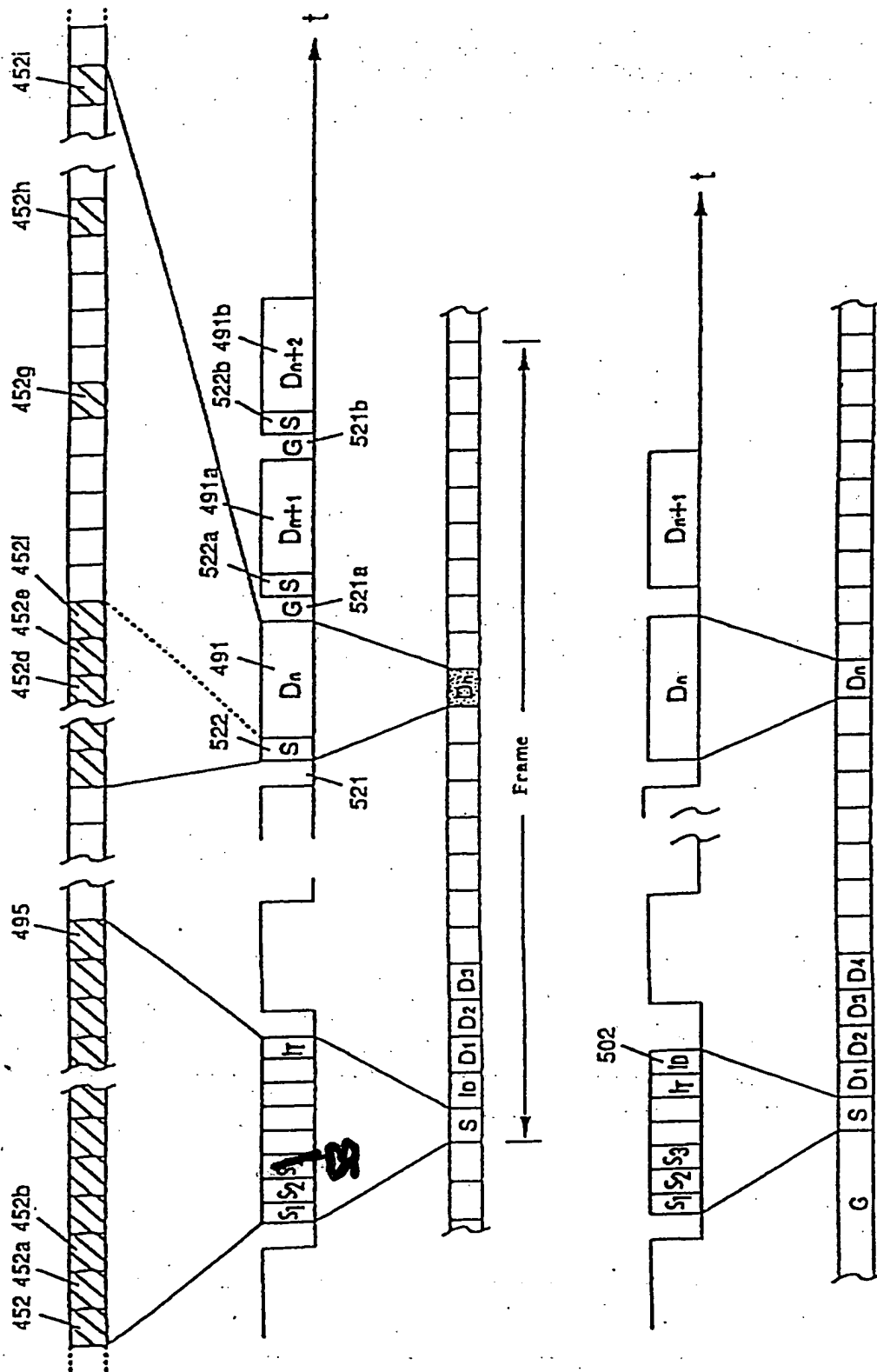


FIG. 48

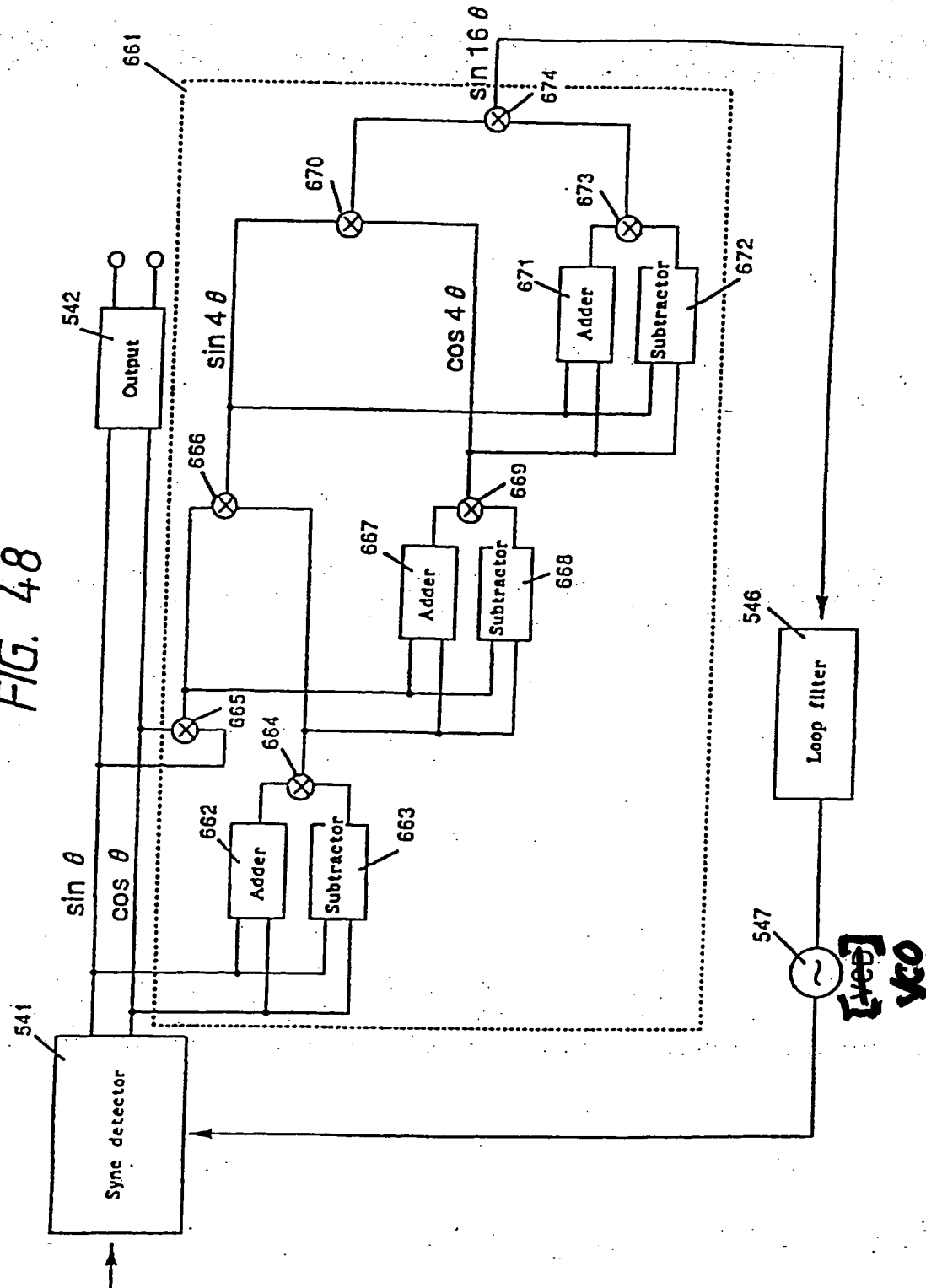


FIG. 65

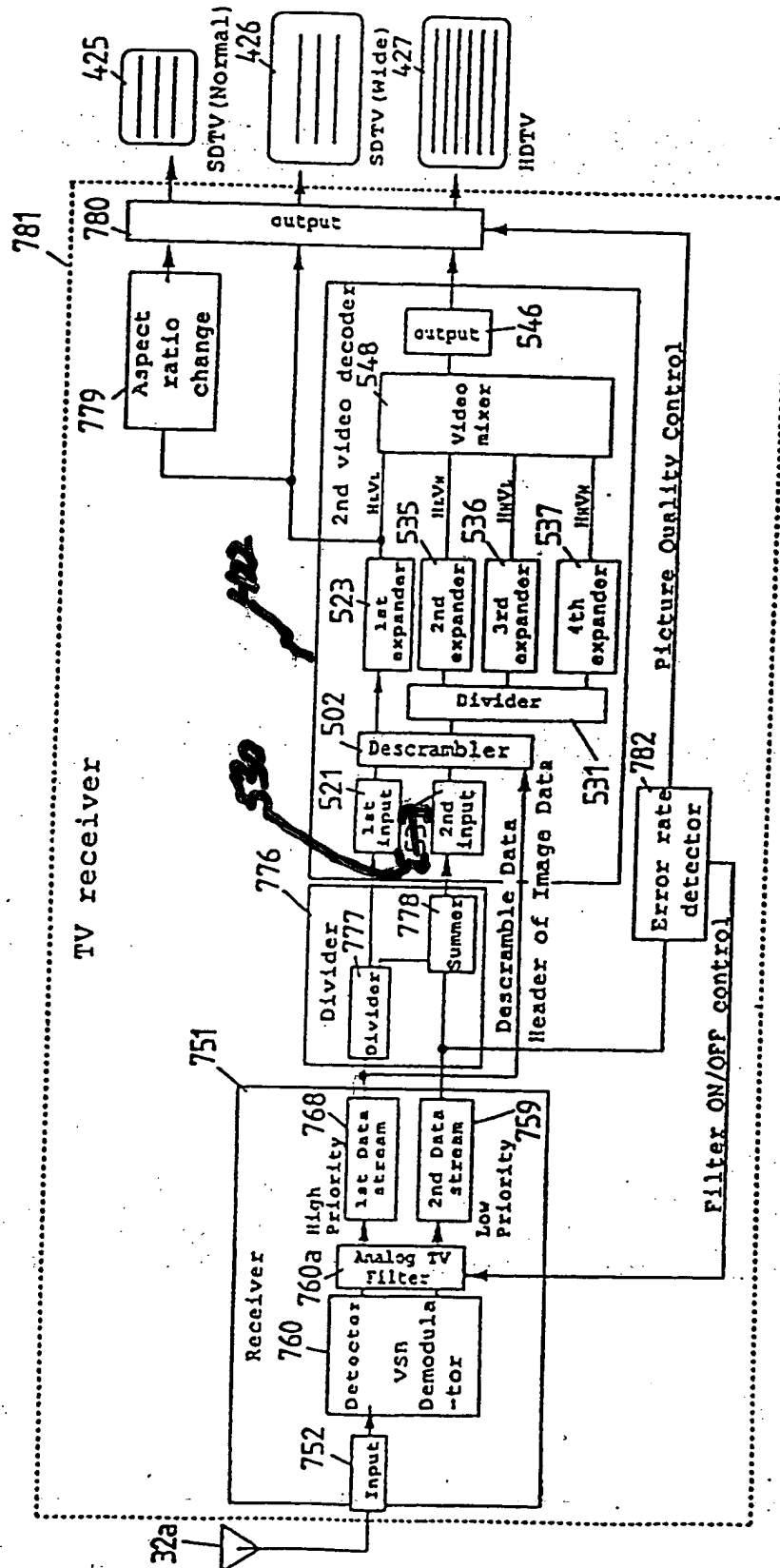


FIG. 67

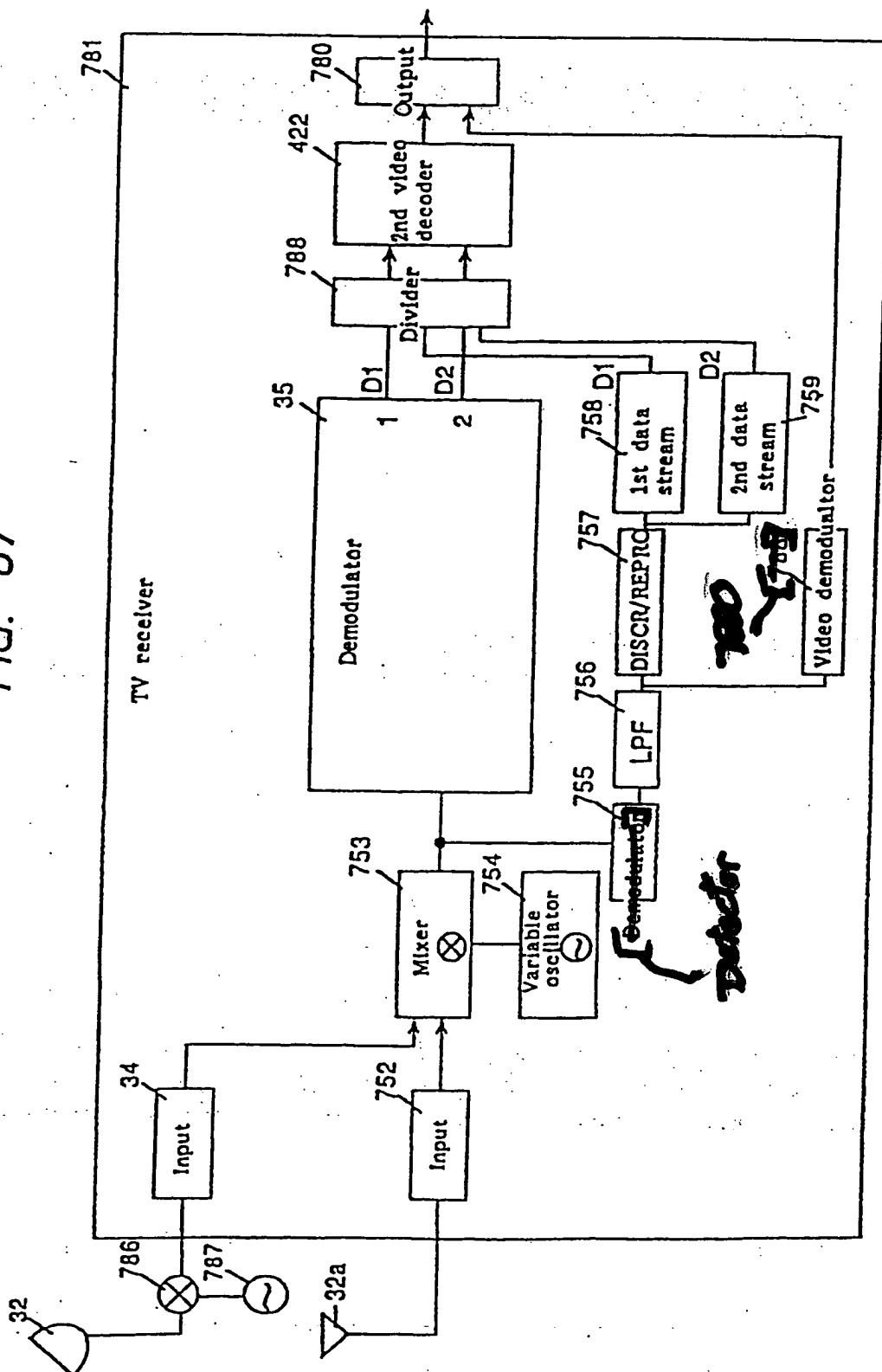


FIG. 71

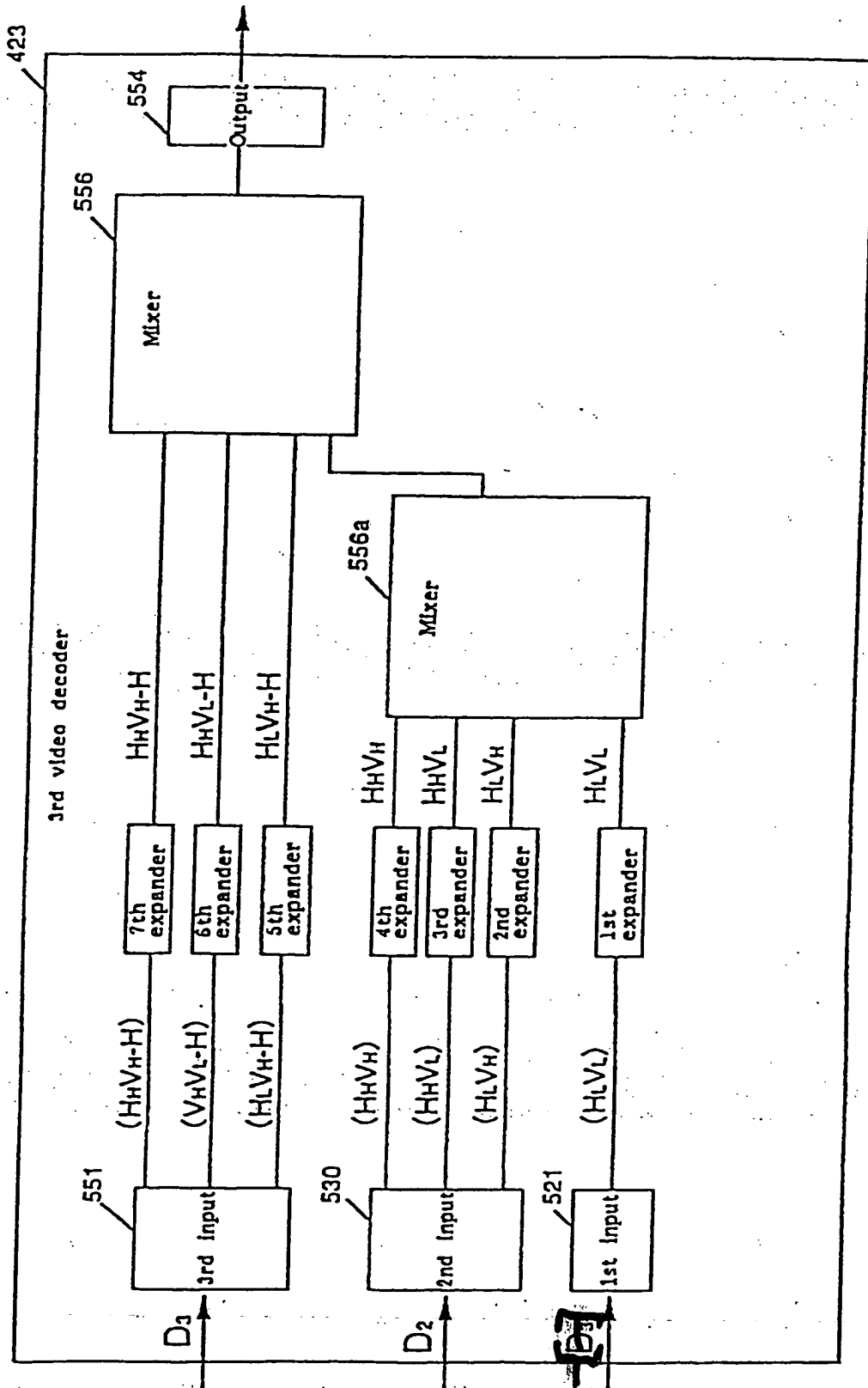


FIG. 72

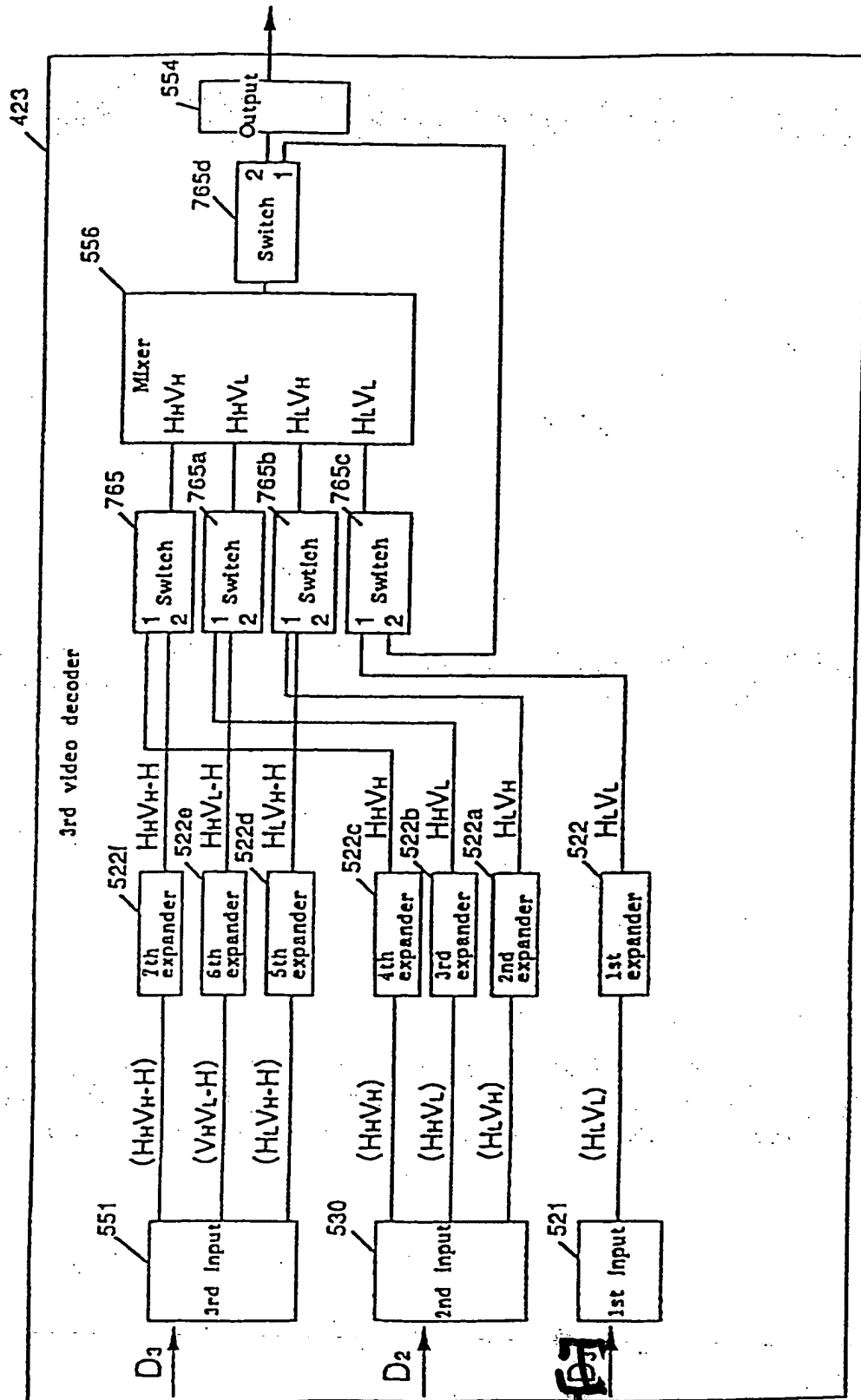


FIG. 78

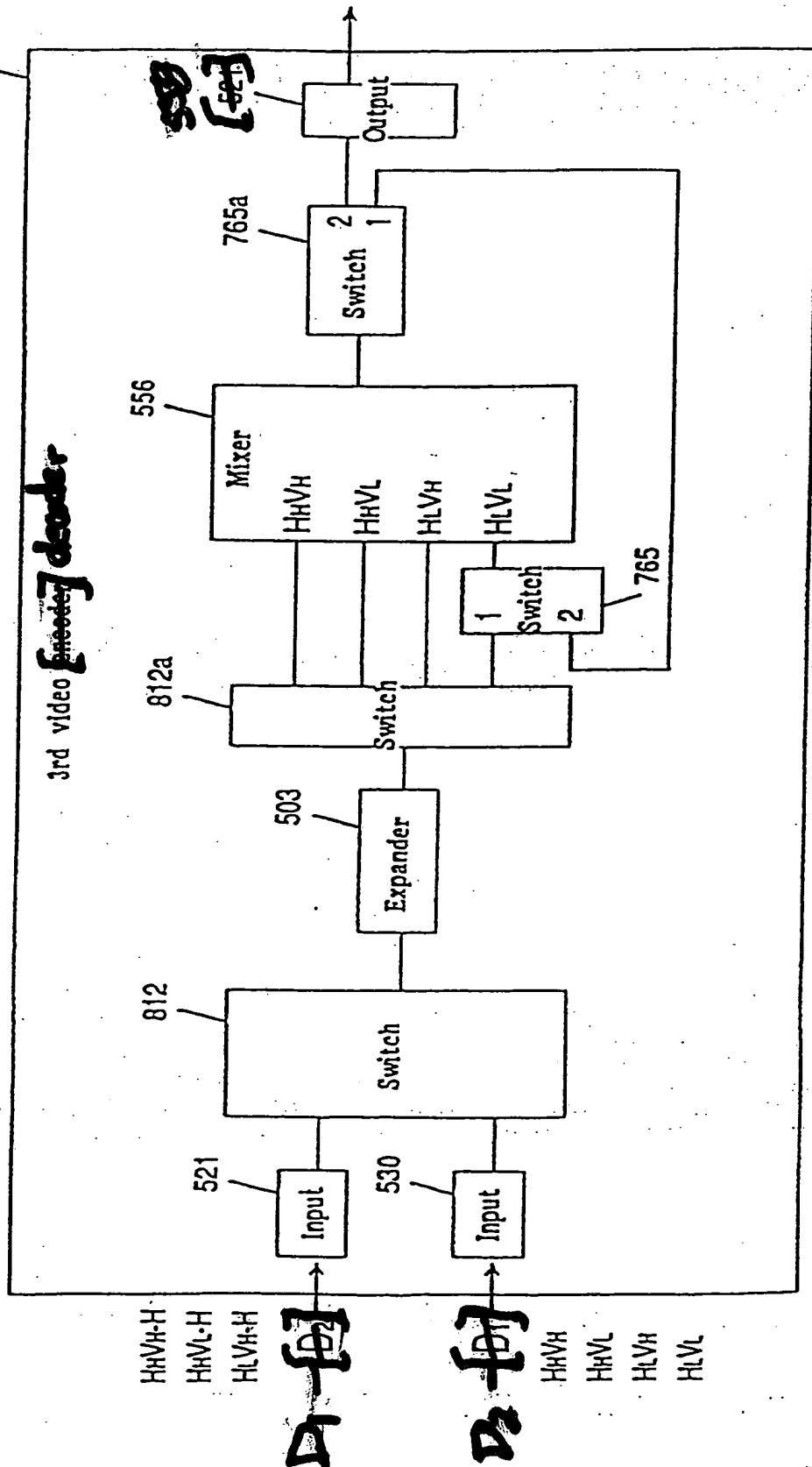


FIG. 80

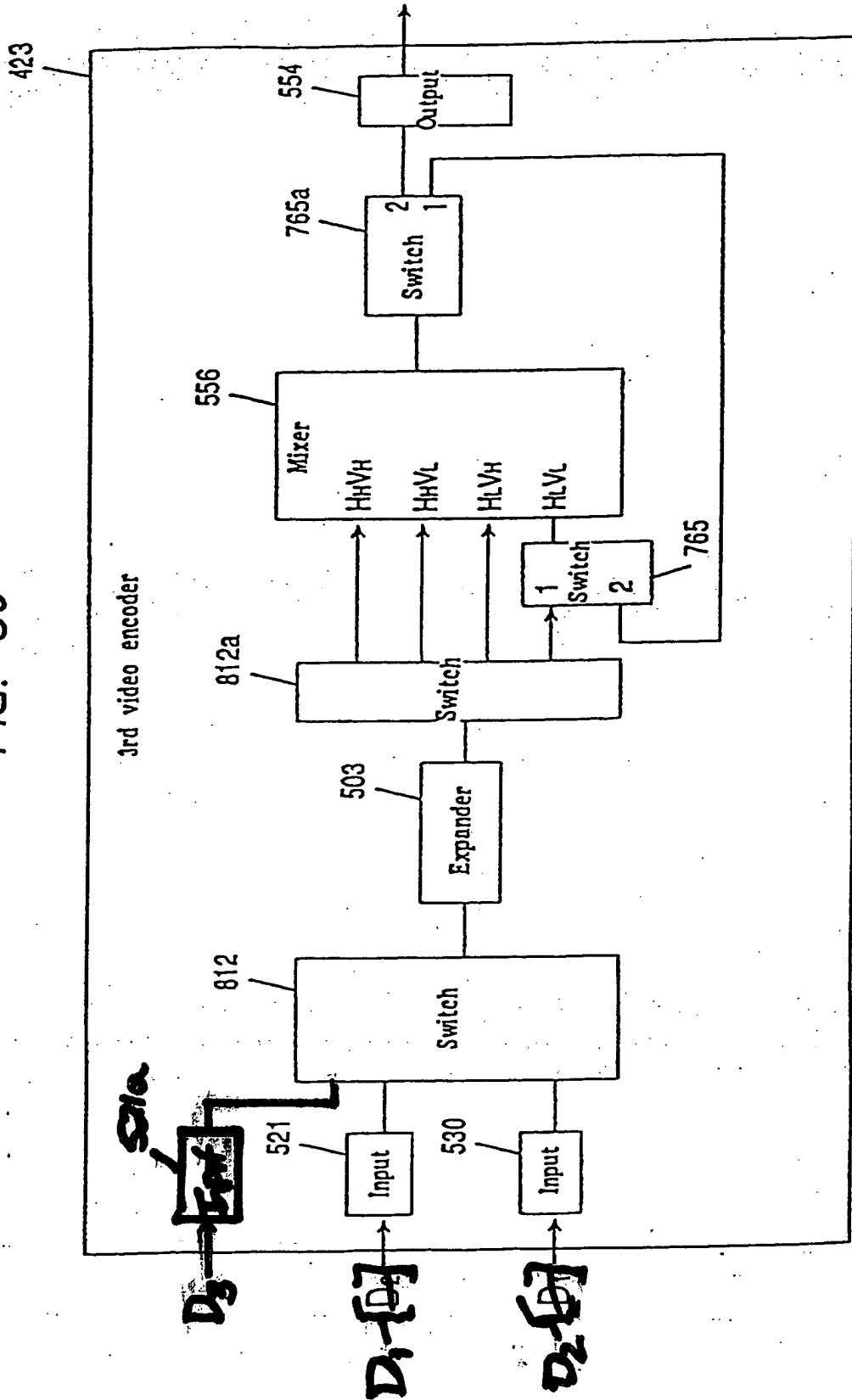


FIG. 82

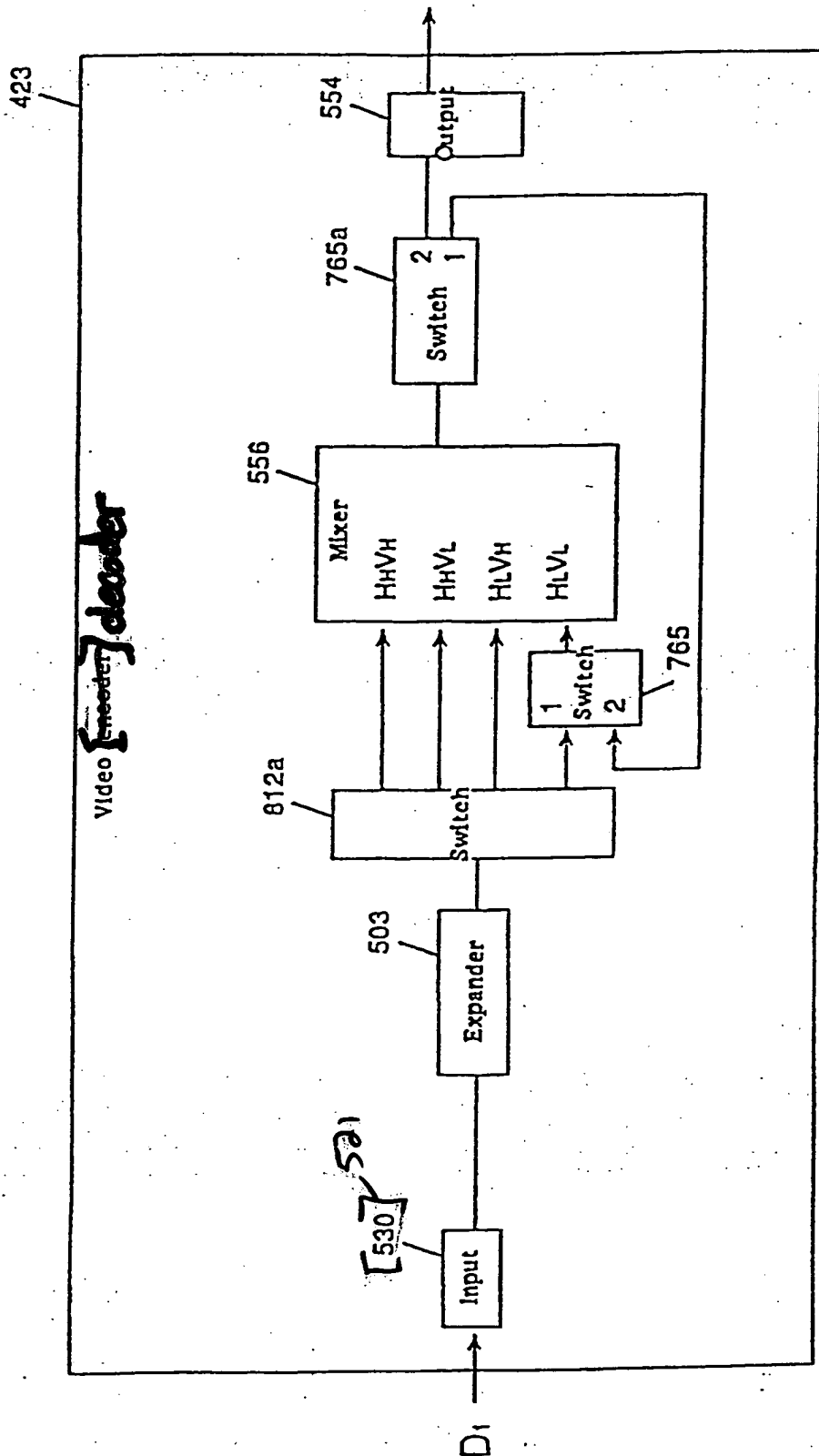
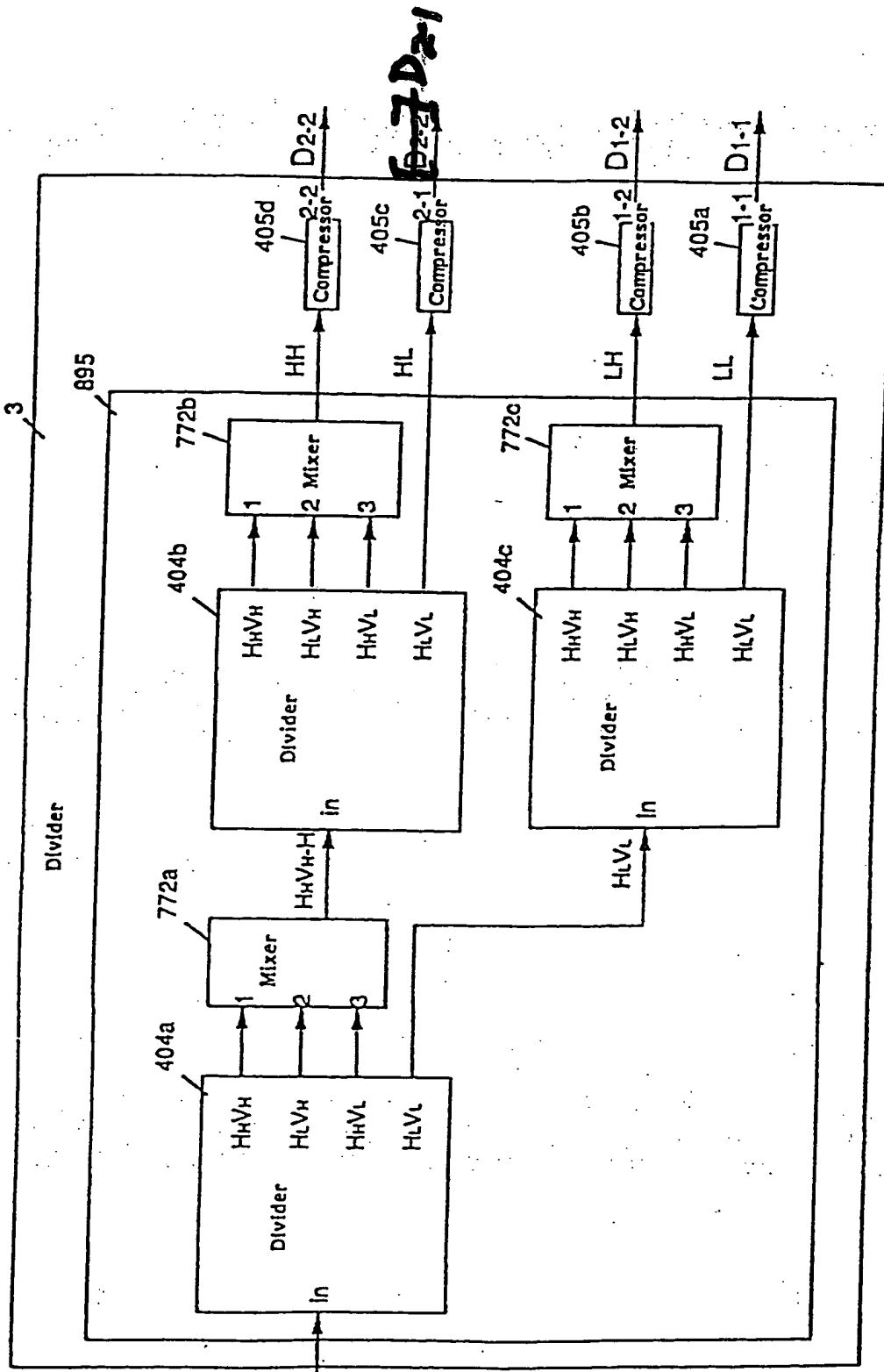


FIG. 93



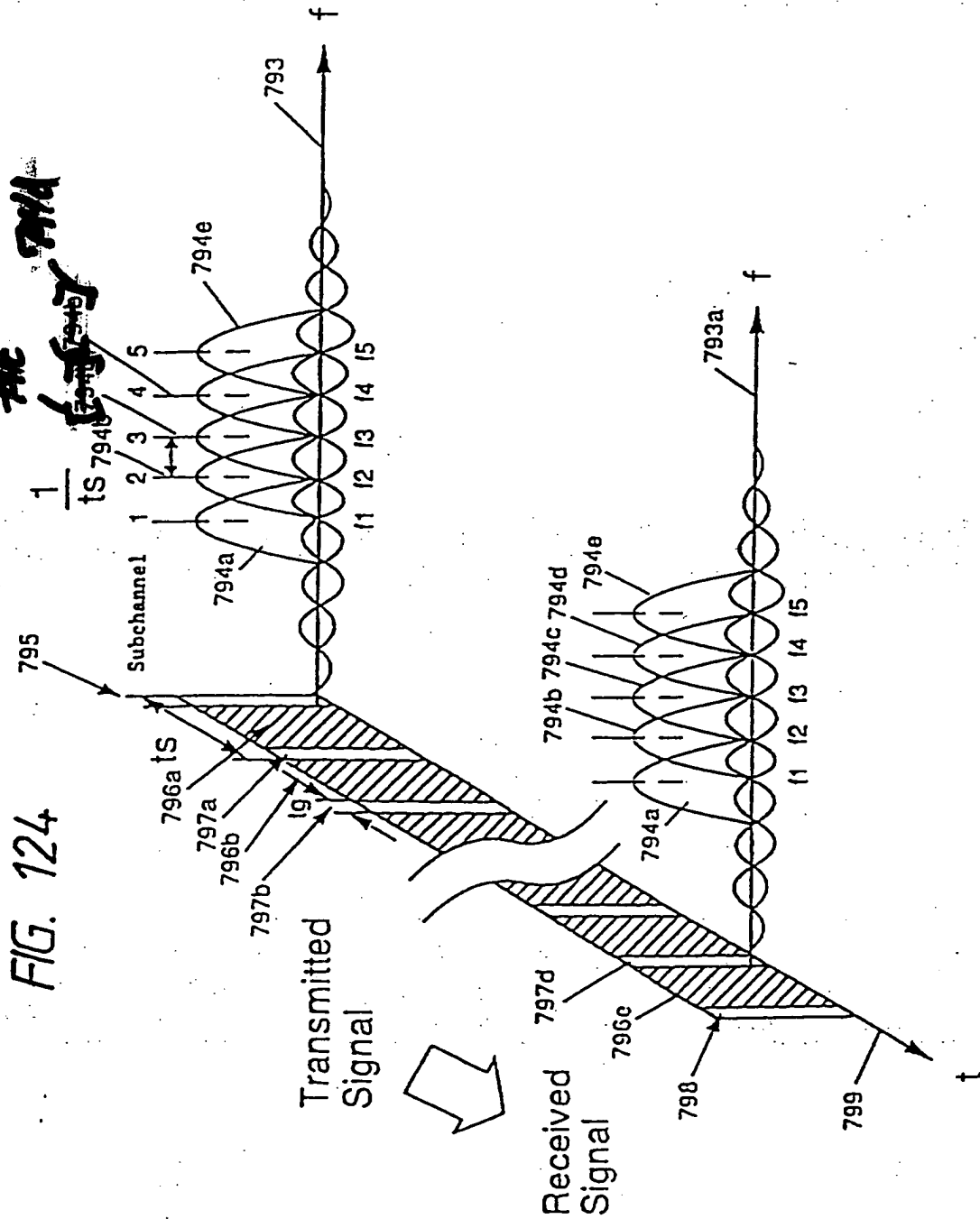
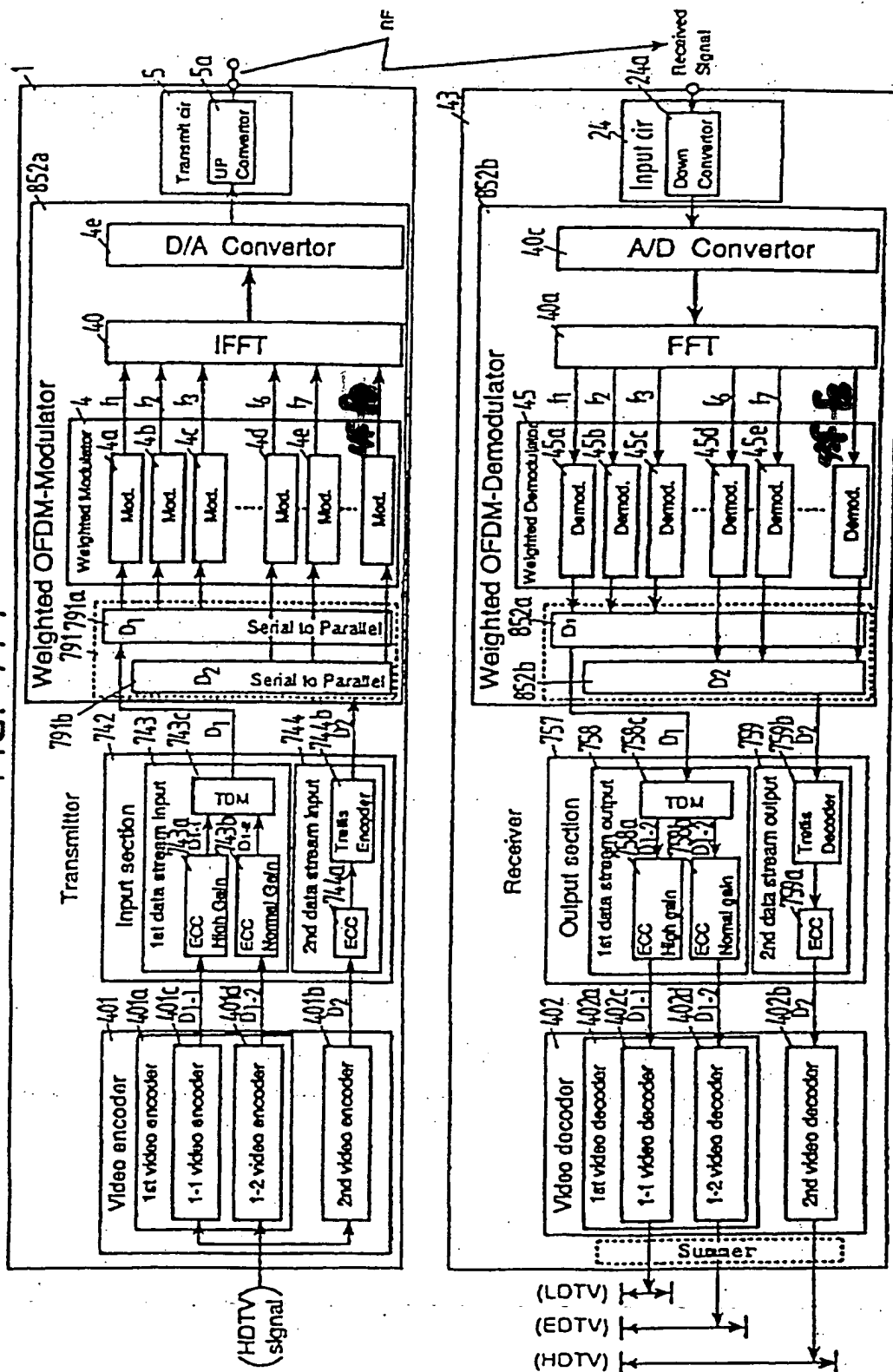


FIG. 144



Comparison **FIG. 169** **[Comparison] of Redundancy**

